

Об исследовании возможностей построения эффективных реализаций одного перспективного LSX-шифра

Смышляев С.В.

Алексеев Е.К., Попов В.О., Прохоров А.С., Сонина Л.А.

Введение

В предлагаемом коротком сообщении рассматривается перспективный алгоритм блочного шифрования, предложенный в докладе на РусКрипто'2013 и построенный по LSX-схеме.

Далее указанный алгоритм будет обозначать K-128.

Размеры блока и ключа - 128 и 256 бит соответственно.

В предлагаемом сообщении представлены предварительные результаты теоретических и экспериментальных исследований особенностей конструкции шифра K-128 с точки зрения возможности построения эффективных реализаций на базе существующего поколения CPU с поддержкой SIMD-расширений и на GPU.

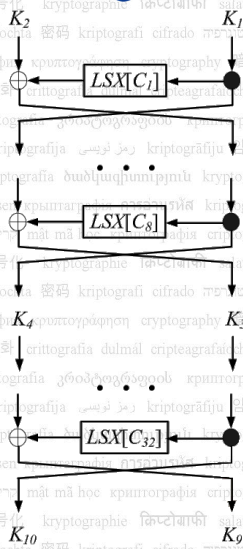
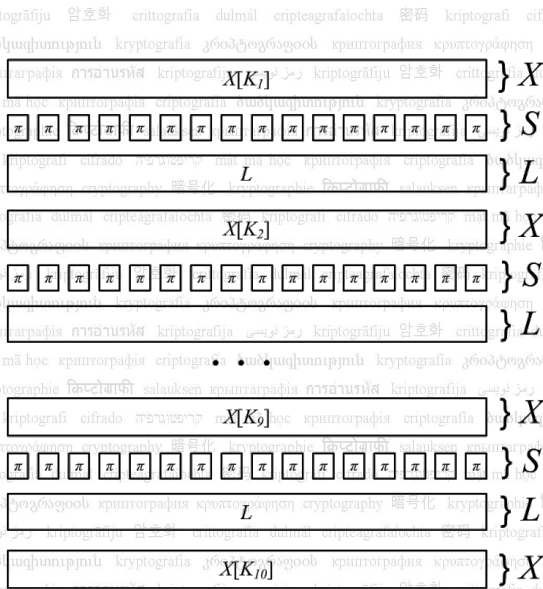
Введение

В предлагаемом коротком сообщении рассматривается перспективный алгоритм блочного шифрования, предложенный в докладе на РусКрипто'2013 и построенный по LSX-схеме.

Далее указанный алгоритм будет обозначать K-128.

Размеры блока и ключа - 128 и 256 бит соответственно.

В предлагаемом сообщении представлены предварительные результаты теоретических и экспериментальных исследований особенностей конструкции шифра K-128 с точки зрения возможности построения эффективных реализаций на базе существующего поколения CPU с поддержкой SIMD-расширений и на GPU.



Основное преобразование имеет вид $L(S(X[K](in)))$, где

- $X[K]$ — сложение по модулю 2 с набором K ($X[K](z) = z \oplus K$),
- S — побайтовая подстановка в соответствии с биекцией $\pi: V_8 \rightarrow V_8: S(x_{15}x_{14} \dots x_1x_0) = \pi(x_{15})\pi(x_{14}) \dots \pi(x_1)\pi(x_0)$,
- L — умножение на 16×16 матрицу A с элементами из $GF(2^8)$.

Зашифрование: $E_{K_1, \dots, K_{10}} = X[K_{10}]LSX[K_9] \dots LSX[K_2]LSX[K_1]$.

Расшифрование: $D_{K_1, \dots, K_{10}} = X[K_1]S^{-1}L^{-1} \dots X[K_9]S^{-1}L^{-1}X[K_{10}]$.

Раундовые ключи $K_i \in V_{128}$ вычисляются по ключу $K \in V_{256}$ по следующей схеме:

$$K \in V_{256}, (K_1, K_2) = K,$$

$$(K_{2i+1}, K_{2i+2}) = F[C_{8(i-1)+8}] \dots F[C_{8(i-1)+1}](K_{2i-1}, K_{2i}), i = 1, \dots, 4,$$

$$F[C] : V_{128}^2 \rightarrow V_{128}^2, F[C](a_1, a_0) = (LSX[C](a_1) \oplus a_0, a_1),$$

$$C_i \in V_{128}, C_i = L([i]_2), i = 1, \dots, 32.$$

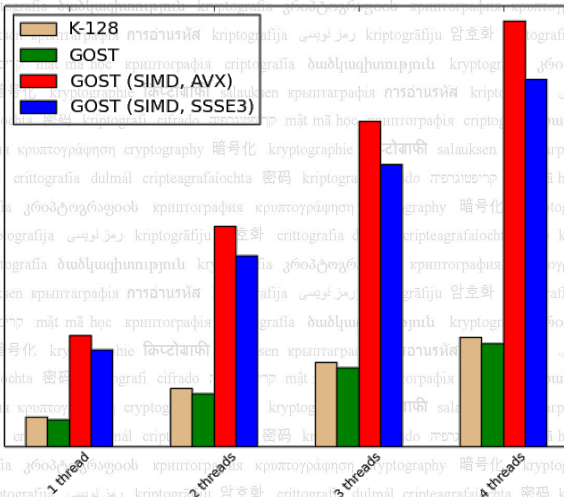
Сравниваем: К-128 и ГОСТ 28147-89.

ГОСТ 28147-89: 32 раунда, сеть Фейстеля, простое ключевое расписание, блок 64 бита, наложение ключа по модулю 2^{32} , нелинейное преобразование осуществляется над полубайтами, линейное преобразование — сдвиг на 11.

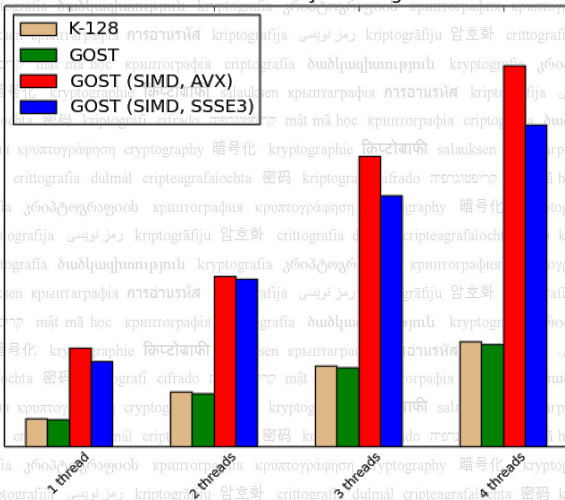
К-128: 9.5 раундов, LSX, ключевое расписание на основе LSX-преобразований, наложение ключа по модулю 2, блок 128 битов, нелинейное преобразование осуществляется над байтами, линейное преобразование — умножение на матрицу 16×16 .

Неуместность сравнения с AES: с 2010 года все процессоры Intel Core™ (32nm Westmere) содержат инструкции, специально созданные для поддержки шифрования по AES. Преимущество аппаратной поддержки.

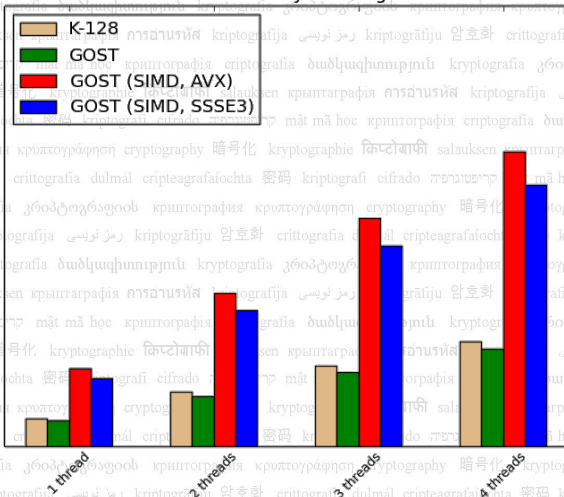
ECB mode



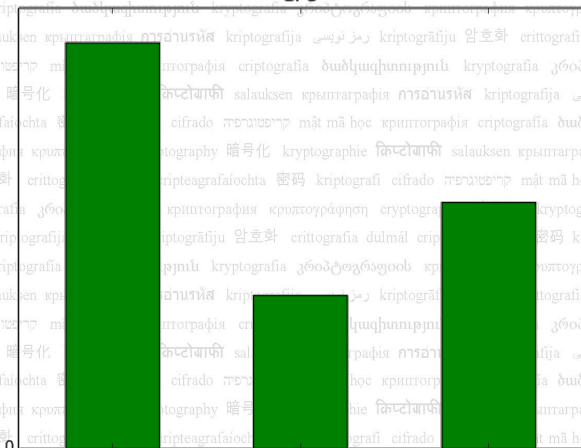
CNT without key mechng



CNT with key meshing



GPU



GOST no key meshing

GOST key meshing

K-128

- К-128 позволяет использовать крайне ограниченную часть возможностей, предоставляемых SIMD-расширением CPU. При этом их использование позволяет строить реализации, эффективность которых превышает эффективность реализации ГОСТ 28147-89 без использования SIMD-инструкций.

- Эффективное применение всего спектра возможностей, предоставляемых SIMD-расширением CPU, при реализации К-128 представляется невозможным. В связи с этим

эффективность упомянутой выше реализации К-128 значительно ниже эффективности реализации ГОСТ 28147-89 с использованием SIMD-инструкций.

- К-128 допускает построение на GPU реализации более эффективных, чем GPU-реализации ГОСТ 28147-89. В основном выигрыш получается за счет возможности обработки большего объема данных без смены кэша.

- К-128 позволяет использовать крайне ограниченную часть возможностей, предоставляемых SIMD-расширением CPU. При этом их использование позволяет строить реализации, эффективность которых превышает эффективность реализации ГОСТ 28147-89 без использования SIMD-инструкций.
- Эффективное применение всего спектра возможностей, предоставляемых SIMD-расширением CPU, при реализации К-128 представляется невозможным. В связи с этим эффективность упомянутой выше реализации К-128 значительно ниже эффективности реализации ГОСТ 28147-89 с использованием SIMD-инструкций.
- К-128 допускает построение на GPU реализации более эффективных, чем GPU-реализации ГОСТ 28147-89. В основном выигрыш получается за счет возможности обработки большего объема данных без смены кэша.

- К-128 позволяет использовать крайне ограниченную часть возможностей, предоставляемых SIMD-расширением CPU. При этом их использование позволяет строить реализации, эффективность которых превышает эффективность реализации ГОСТ 28147-89 без использования SIMD-инструкций.
- Эффективное применение всего спектра возможностей, предоставляемых SIMD-расширением CPU, при реализации К-128 представляется невозможным. В связи с этим эффективность упомянутой выше реализации К-128 значительно ниже эффективности реализации ГОСТ 28147-89 с использованием SIMD-инструкций.
- К-128 допускает построение на GPU реализации более эффективных, чем GPU-реализации ГОСТ 28147-89. В основном выигрыш получается за счет возможности обработки большого объема данных без смены ключа.

Влияние компонент схемы на возможность построения эффективных SIMD-реализаций для ЦП.

Влияние компонент схемы на возможность построения эффективных SIMD-реализаций для графических процессоров.

Подтверждение выводов экспериментальными исследованиями раздельных классов моделей в модификации схемы.

- Влияние компонент схемы на возможность построения эффективных SIMD-реализаций для ЦП.
- Влияние компонент схемы на возможность построения эффективных SIMD-реализаций для графических процессоров.
- Подтверждение выводов экспериментальными исследованиями раздельных классов моделей первых модификаций схемы.

- Влияние компонент схемы на возможность построения эффективных SIMD-реализаций для ЦП.
- Влияние компонент схемы на возможность построения эффективных SIMD-реализаций для графических процессоров.
- Подтверждение выводов экспериментальными исследованиями различных классов модельных модификаций схемы.

Спасибо за внимание!